

- [12] Dubiel M, Hammid A, Breborowicz A, et al. Flow index evaluation of 3-D volume flow images: An in vivo and in vitro study. *Ultrasound Med Biol*, 2006, 32(5):665-671.
- [13] Raine-Fenning NJ, Nordin NM, Ramnarine KV, et al. Evaluation of the effect of machine settings on quantitative three-dimensional power Doppler angiography: An in-vitro flow phantom experiment. *Ultrasound Obstet Gynecol*, 2008, 32(4): 551-559.

## Giant chondroma of anterior mediastinum: Case report 前纵隔巨大软骨瘤1例

熊真亮<sup>1,2</sup>, 李栋学<sup>2</sup>, 曾宪春<sup>2</sup>, 王荣品<sup>2\*</sup>, 黄平<sup>3</sup>

(1. 贵州大学医学院,贵州 贵阳 550025;2. 贵州省人民医院放射科,3. 病理科,贵州 贵阳 550002)

[Keywords] mediastinum, anterior; chondroma; tomography, X-ray computed

[关键词] 纵隔, 前; 软骨瘤; 体层摄影术, X线计算机

DOI:10.13929/j.1003-3289.201809121

[中图分类号] R738.3; R814.42 [文献标识码] B [文章编号] 1003-3289(2019)07-1080-01

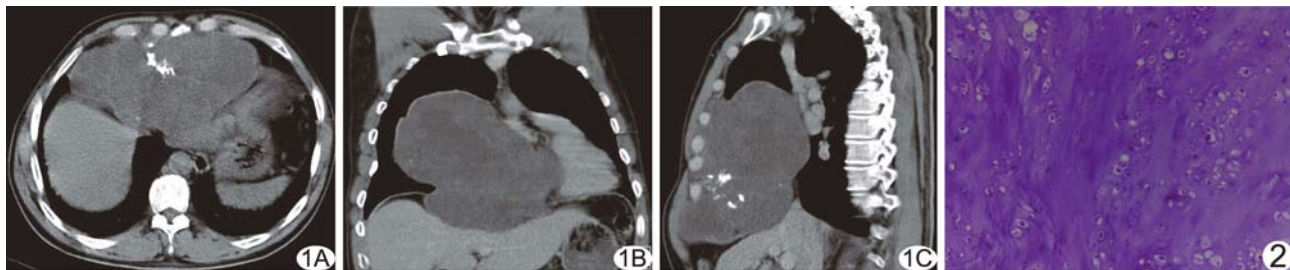


图1 前纵隔软骨瘤CT表现 A. CT平扫图像; B. 重建冠状位增强CT图像; C. 重建矢状位增强CT图像

图2 病理图(HE, ×200)

患者男,51岁,因“发现胸壁包块伴胸闷不适半年”入院。查体:呼吸20次/分,心率81次/分,血压128 mmHg/80 mmHg,双肺呼吸音清;胸部及上腹部膨隆,于剑突下皮下触及包块,质硬、无压痛。实验室检查未见异常。CT:平扫示右肺前下方19.8 cm×10.6 cm×18.3 cm巨大不规则软组织密度肿块,密度不均,实质部分CT值26 HU,边缘光滑(图1A),其内见少量丛集样钙化;增强后肿块实质部分轻度不均匀强化,动脉期、静脉期CT值分别为31 HU、39 HU,内见片状低密度无强化囊变区;肿块压迫心脏使之左移,向下压迫右侧膈肌及肝脏(图1B、1C)。影像学诊断:右胸巨大肿块,良性可能性大。行右胸肿瘤切除术,术中见肿瘤位于右下纵隔,约20.0 cm×13.0 cm×10.0 cm,质硬,边界清,有包膜,大部分偏向右侧胸腔,与周围组织粘连,与下段胸骨关系密切,未侵犯右侧膈肌。大体标本示包块形态不规则,剖面灰白、质脆,呈囊实性;光镜下见软骨细胞生成,周围结缔组织增生,局部伴纤维化(图2)。病理

诊断:前纵隔巨大软骨瘤。

讨论 软骨瘤是起源于软骨细胞的良性肿瘤,占所有骨细胞来源肿瘤的2.38%,好发于指、趾等短管状骨,原发于骨外者较少见。本病发病高峰年龄为10~40岁,好发于男性,多与骨损伤、慢性感染等有关,起病缓慢,早期无明显症状。本例巨大软骨瘤发生于前纵隔,邻近膈肌,形成局部粘连;肿块边界清楚,内见丛集样分布钙化灶,符合软骨瘤特点。

鉴别诊断:①前纵隔成熟畸胎瘤,多为边界清楚的混杂密度肿块,病变内常有脂肪、钙化及液性成分;②孤立性纤维瘤,多为边界清楚的孤立性肿块,实质性部分密度一般较均匀,罕见结节样或丛集样钙化;③胸腺瘤,好发于前上纵隔,呈椭圆形或分叶状,密度较均匀,边界清,增强后较均匀强化,恶性病灶患者可伴有重症肌无力等症状;④神经源性肿瘤,多发于后纵隔脊柱旁,多边界清,包膜完整,易囊变,增强后明显强化。

[基金项目] 贵州省卫生计生委科学技术基金项目(gzwjkj2017-1-067)。

[第一作者] 熊真亮(1993—),男,贵州台江人,在读硕士。E-mail: xzhenliang@126.com

[通信作者] 王荣品,贵州省人民医院放射科,550002。E-mail: wangrongpin@126.com

[收稿日期] 2018-09-24 [修回日期] 2018-12-20